

УПРУГИЕ СВОЙСТВА САМАРИЕВОГО ФЕРРИТА-ГРАНАТА

© О.П.Квашнина, Г.М.Квашнин, Т.П.Сорокина

Красноярский государственный аграрный университет,

660049 Красноярск, Россия

(Поступила в Редакцию 19 сентября 1995 г.

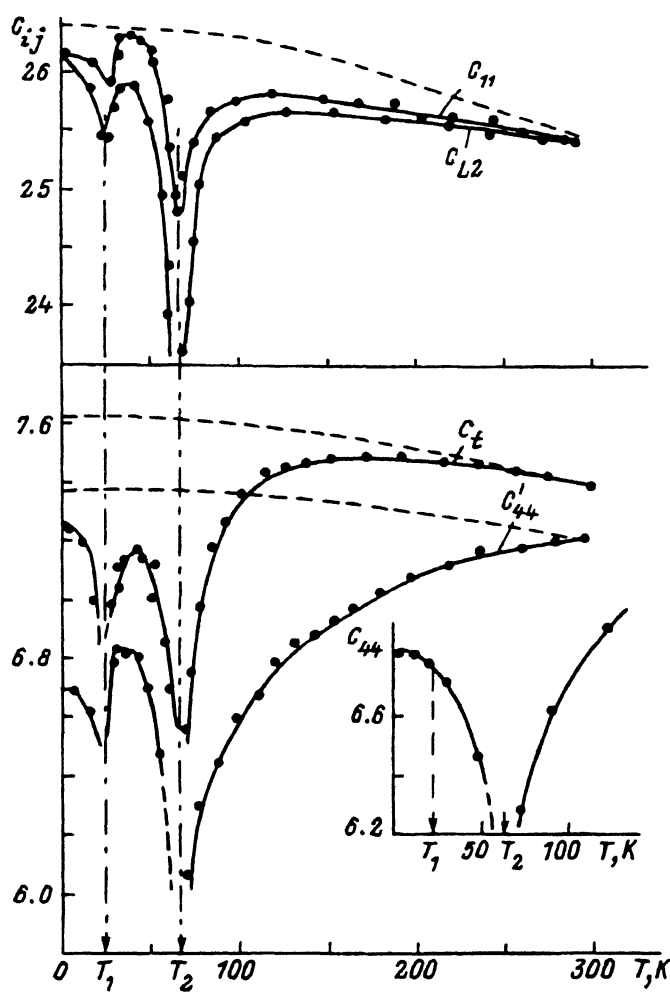
В окончательной редакции 20 февраля 1996 г.)

В данной работе приводятся результаты экспериментального исследования упругих свойств самариевого феррита-граната $\text{Sm}_3\text{Fe}_5\text{O}_{12}$ в области температур 4.2–300 К. При низких температурах в $\text{Sm}_3\text{Fe}_5\text{O}_{12}$ были обнаружены два ориентационных фазовых перехода (ОФП): при $T_1 \approx 18$ К (низкотемпературный) с изменением направления вектора намагниченности \mathbf{M} от угловой фазы (*uvu*) к фазе [110]; и при $T_2 \approx 65$ К с изменением направления \mathbf{M} изменяется от [110] к [111]. В соответствии с [1,2] переход при $T = T_1$ является фазовым переходом второго рода, а при $T = T_2$ — первого рода.

В работе [3] были проведены ультразвуковые исследования упругих свойств парамагнитных кристаллов в области кооперативного ян-теллеровского фазового перехода. В ней отмечалось, что из-за изменения симметрии кристаллической структуры в области перехода возникают деформации решетки, которые ведут к ее нестабильности. Наиболее сильное изменение испытывают упругие постоянные C_{44} и $C_t = 1/2(C_{11} - C_{12})$, ответственные за сдвиговые деформации ϵ_{xy} и $\epsilon_{xx} - \epsilon_{yy}$.

Для кристаллов с магнитным упорядочением величина деформационных эффектов в области ян-теллеровского перехода определяется также и магнитной подсистемой и зависит от величины магнитоупругого взаимодействия. Данные об акустических исследованиях на подобных кристаллах в литературе отсутствуют.

На рисунке представлены зависимости $C_{ij}(T)$ для $\text{Sm}_3\text{Fe}_5\text{O}_{12}$, рассчитанные из экспериментально измеренных температурных зависимостей скоростей распространения упругих волн: C_{11} рассчитана из скорости продольной волны с волновым вектором $\mathbf{K} \parallel [100]$, C_{L2} — из скорости продольной волны с $\mathbf{K} \parallel [110]$, C'_{44} — из скорости сдвиговой волны ($\mathbf{K} \parallel [110]$) с вектором поляризации $\mathbf{U} \parallel [001]$, C_{44} — $\mathbf{K} \parallel [110]$, $\mathbf{U} \parallel [011]$, C_t — $\mathbf{K} \parallel [110]$, $\mathbf{U} \parallel [\bar{1}\bar{1}0]$. Относительная точность измерения скоростей распространения упругих волн в используемом импульсно-фазовом методе [4] составляет 0.1 %.



Температурные зависимости упругих постоянных C_{ij} (10^{10} N/m^2) $\text{Sm}_3\text{Fe}_5\text{O}_{12}$. Штриховые линии — температурные зависимости упругих постоянных $\text{Y}_3\text{Fe}_5\text{O}_{12}$.

Если сравнить экспериментальные зависимости $C_{ij}(T)$ $\text{Sm}_3\text{Fe}_5\text{O}_{12}$ с аналогичными для $\text{Y}_3\text{Fe}_5\text{O}_{12}$ (см. рисунок), то можно выявить влияние редкоземельной подрешетки на упругость кристалла и ее температурный ход.

Как следует из рисунка, наибольшие изменения наблюдаются для констант C_t и C'_{44} . Так, при $T = T_2$ уменьшения C_t и C'_{44} относительно штриховой линии достигают соответственно 14.5 и 21.6 %. Два минимума на температурных зависимостях $C_{ij}(T)$ соответствуют двум ОФП.

Растянутость и «смягчение» C_t и, особенно, C'_{44} на всем исследуемом температурном интервале не могут быть связаны только с наличием ОФП, так как измерения спектров ЯМР на $\text{Sm}_3\text{Fe}_5\text{O}_{12}$ показали, что переориентация вектора M происходит в интервале температур $\Delta T \cong 1 \text{ K}$ [5]. По-видимому, такое поведение $C_{ij}(T)$ может быть объяс-

нено усилением взаимодействия спиновых и упругих волн, вызванным неустойчивостью кристаллической решетки к сдвиговым деформациям ϵ_{xy} и $\epsilon_{xx} - \epsilon_{yy}$ вследствие кооперативного ян-теллеровского перехода.

При низких температурах $\text{Sm}_3\text{Fe}_5\text{O}_{12}$ является высокомагнитострикционным магнетиком. Наличие больших спонтанных магнитоупругих деформаций и изменение направления M приводят к искажениям кристаллической структуры [6]. В соответствии с работой [6] в области $T_1 < T < T_2$, где $M \parallel [110]$, в $\text{Sm}_3\text{Fe}_5\text{O}_{12}$ наблюдается ромбическое искажение симметрии, а при $T < T_2$, где $M \parallel [u\bar{v}0]$, симметрия становится моноклинной.

На вставке к рисунку показано изменение упругой константы C_{44} в области низких температур T . При $T < 50$ К минимум на C_{44} при $T = T_1$ не наблюдается. Различие в температурных зависимостях C'_{44} и C_{44} , по-видимому, обусловлено низкосимметричностью решетки. Для низкосимметричных кристаллов сдвиговые упругие моды $K \parallel [110]$, $U \parallel [001]$ и $K \parallel [100]$, $U \parallel [011]$ определяют различные упругие константы, имеющие неодинаковый магнитоупругий вклад. При $T > T_2$ зависимости $C_{44}(T)$ и $C'_{44}(T)$ совпадают.

Измерения температурных зависимостей упругих констант в $\text{Sm}_3\text{Fe}_5\text{O}_{12}$ показали, что минимум C_{ij} наблюдается при $T_1 \approx 25$ К и $T_2 \approx 72$ К. Эти значения температур на 7 К выше температур переориентации, полученных из измерения спектров ЯМР [5]. Значительное расхождение в величинах T_1 и T_2 можно объяснить причинами, предложенными в [6]. Анализ, проведенный в [7], показал, что в размагниченных образцах существуют напряжения в стенках доменной структуры, обусловленные магнитострикционными деформациями, что может привести к значительному гистерезису упругих свойств при ОФП. Так, для $\text{Sm}_3\text{Fe}_5\text{O}_{12}$ в области T_2 численные оценки дают интервал гистерезиса $C_{ij} \Delta T \approx 10$ К. В экспериментальных измерениях, проведенных при нагревании образца, получено значение T_2 , повышенное на 7 К по сравнению с данными работы [2].

Таким образом, измерения температурных зависимостей упругих постоянных $\text{Sm}_3\text{Fe}_5\text{O}_{12}$ показали следующие особенности. Обнаружено уменьшение всех упругих постоянных в области ОФП ян-теллеровского типа. Выше T_2 обнаружены значительные «смягчения» упругих постоянных C_{44} и C_t , растянутые на весь исследуемый температурный интервал (4.2–300 К).

Список литературы

- [1] Звездин А.К., Матвеев В.М., Мухин А.А., Попов А.И. Редкоземельные ионы в магнитоупорядоченных кристаллах. М. (1985). 294 с.
- [2] Бабушкин Г.А., Бородин В.А., Дорошев В.Д., Звездин А.К., Левитин Р.З., Попов А.И. Письма в ЖЭТФ **53**, 1, 28 (1982).
- [3] Melcher R.L. In: Physical acoustics principles and method / Ed. W.P. Mason, R.N. Thurston. Nework (1976). P. 1-77.
- [4] McSkimin H.J. J. Acoust. Soc. Am. **22**, 4, 413 (1950).
- [5] Бородин В.А., Дорошев В.Д., Ключан В.А., Ковтун Н.М., Титова А.Г. ФТТ **18**, 7, 1852 (1976).
- [6] Левитин Р.З., Маркосян А.С., Орлов В.Н. ФТТ **26**, 5, 1386 (1984).
- [7] Ключан В.А. ФТТ **20**, 11, 3386 (1978).